

ПРИБЛИЖЕНИЕ К АСИМПТОТИКЕ РЕГУЛЯТОРА В СИНГУЛЯРНО ВОЗМУЩЕННОЙ ЗАДАЧЕ НА ОСНОВЕ СХОДЯЩЕГОСЯ ИТЕРАЦИОННОГО ПРОЦЕССА¹

Дмитриев М.Г., Макаров Д.А.

Федеральный исследовательский центр «Информатика и управление» РАН, Москва, Россия
mdmitriev@mail.ru, makarov@isa.ru

Аннотация. В работе рассматривается построение асимптотических разложений в сингулярно возмущенной слабо нелинейной задаче управления с целью построения приближенного регулятора. Они используются для построения интерполяционных и экстраполяционных процедур и получаются с помощью применения техники SDRE и анализа сходящегося итерационного процесса. Проведенные эксперименты показали работоспособность предложенного подхода.

Ключевые слова: асимптотические методы, сингулярно возмущенные задачи управления, малый параметр, итерационные алгоритмы, регулятор, техника SDRE.

Введение

Асимптотические методы, которые опираются на выявлении в математических моделях тех или иных малых параметров, являются одним из инструментов приближенного решения и анализа сложных нелинейных задач. Численные процедуры являются зачастую единственно возможными при первых попытках приближенного решения и анализа задач естественного происхождения. Взаимодействие двух подходов расширяет возможности каждого из них и при этом можно отметить два перспективных направления исследований.

Первое связано с возможностью на базе сходящегося итерационного процесса приближенно воспроизвести первые члены асимптотического разложения по степеням некоторого выбранного параметра, который предполагается малым. Это позволяет пользоваться такой асимптотикой, которую в дальнейшем будем называть численной, например, при процедурах экстраполяции и интерполяции.

Второе направление относится к алгоритмам, связанным с искусственно вводимым малом параметром при численном решении некоторых задач. Например, задач управления и оптимизации с ограничениями с помощью метода штрафных функций и некорректно поставленных задач с их последующей регуляризацией. То есть, если в моделях вводятся искусственные малые параметры, то построенная приближенная асимптотика может использоваться для повышения точности численного решения, например, с помощью метода Ричардсона.

В данной работе на примере построения регулятора в подходе SDRE в слабо нелинейной сингулярно возмущенной задаче управления строится численная асимптотика (ЧА) блоков матрицы решения сингулярно возмущенной начальной задачи для матричного уравнения типа Риккати. ЧА находится с помощью сходящегося итерационного процесса [1,2] и специальных приемов декомпозиции на основе метода пограничных функций А.Б. Васильевой [3]. Подробности подхода изложены в [4]. Затем полученная ЧА используется для построения интерполяционных и экстраполяционных конструкций, которые применяются в двух численных экспериментах.

1. Постановка задачи и итерационный алгоритм

Рассмотрим следующую задачу оптимального управления

$$\begin{aligned} \frac{dx}{dt} &= A_1(x, \varepsilon)x + A_2(x, \varepsilon)y + B_1(x, \varepsilon)u, \quad x(0) = x^0, \quad x \in X \subset \mathbb{R}^{n_x}, \\ \varepsilon \frac{dy}{dt} &= A_3(x, \varepsilon)x + A_4(x, \varepsilon)y + B_2(x, \varepsilon)u, \quad y(0) = y^0, \quad y \in Y \subset \mathbb{R}^{n_y}, \\ J(u) &= \frac{1}{2} w^T(t_f) F w(t_f) + \frac{1}{2} \int_0^{t_f} (w^T Q(x, \varepsilon) w + u^T R u) dt \rightarrow \min_u, \\ u \in \mathbb{R}^r, w &= [x \quad y]^T \in W \subset \mathbb{R}^n, W = X \times Y, t \in [0, t_f], 0 < \varepsilon \ll 1, F \geq 0, Q(x, \varepsilon) \geq 0, R > 0, \end{aligned} \tag{1}$$

¹ Исследование выполнено за счет гранта Российского научного фонда № 21-11-00202, <https://rscf.ru/project/21-11-00202/>

где x, y – соответственно медленные и быстрые координаты; X, Y – ограниченные множества; w – совокупный вектор переменных состояния; u – управление; ε – положительный малый параметр; F – постоянная положительно полуопределенная матрица; Q – положительно полуопределенная матрица при любых значениях своих аргументов; R – постоянная положительно определенная матрица.

Необходимо построить численную асимптотику решения задачи на основе сходящегося итерационного процесса, а также построить и исследовать интерполяционные и экстраполяционные процедуры на её основе.

Воспользуемся итерационным алгоритмом [4] решения задачи (1). Будем искать решение задачи (1) в виде [5]

$$u(w, t, \varepsilon) = -R^{-1}B^T(x, \varepsilon)(P(w, t, \varepsilon)w + \Pi(w, t, \varepsilon)), \quad (2)$$

где $\Pi(w, t, \varepsilon) = \frac{1}{2} \left[w^T \frac{\partial P(w, t, \varepsilon)}{\partial w_1} w \quad w^T \frac{\partial P(w, t, \varepsilon)}{\partial w_2} w \quad \dots \quad w^T \frac{\partial P(w, t, \varepsilon)}{\partial w_n} w \right]^T \in \mathbb{R}^n$, а матрица

$P(w, t, \varepsilon) \in \mathbb{R}^{n \times n}$ является решением следующей задачей Коши для матричного дифференциального уравнения типа Риккати

$$\frac{dP}{dt} + PA(x, \varepsilon) + A^T(x, \varepsilon)P - PB(x, \varepsilon)R^{-1}B^T(x, \varepsilon)P + Q(x, \varepsilon) + \Omega(w, t, \varepsilon) = 0, \quad P(w(t_f), t_f, \varepsilon) = F, \quad (3)$$

в котором $A(x, \varepsilon) = \begin{pmatrix} A_1(x, \varepsilon) & A_2(x, \varepsilon) \\ A_3(x, \varepsilon) & A_4(x, \varepsilon) \\ \varepsilon & \varepsilon \end{pmatrix}$, $B(x, \varepsilon) = \begin{pmatrix} B_1(x, \varepsilon) \\ B_2(x, \varepsilon) \\ \varepsilon \end{pmatrix}$, $Q(x, \varepsilon) = \begin{pmatrix} Q_1(x, \varepsilon) & Q_2(x, \varepsilon) \\ Q_2^T(x, \varepsilon) & Q_3(x, \varepsilon) \end{pmatrix}$,

$$F = \begin{pmatrix} F_1 & \varepsilon F_2 \\ \varepsilon F_2^T & \varepsilon F_3 \end{pmatrix}, \quad \Omega(w, t, \varepsilon) = \frac{1}{4} \hat{P}_w^T B(x, \varepsilon) R^{-1} B^T(x, \varepsilon) \hat{P}_w = \begin{bmatrix} \Omega_1 & \Omega_2 \\ \Omega_2^T & \Omega_3 \end{bmatrix},$$

$\hat{P}_w(w, t, \varepsilon) = \left[\frac{\partial P}{\partial w_1} w \quad \frac{\partial P}{\partial w_2} w \quad \dots \quad \frac{\partial P}{\partial w_n} w \right]^T$, $Q_i(x, \varepsilon) = Q_{i,0} + \varepsilon Q_{i,1}(x)$, $i = \overline{1,3}$, а $\frac{dP}{dt}$ – полная производная по t от $P(w, t, \varepsilon)$.

Матрица P ищется в блочной форме вида $P(w, t, \varepsilon) = \begin{pmatrix} P_1(w, t, \varepsilon) & \varepsilon P_2(w, t, \varepsilon) \\ \varepsilon P_2^T(w, t, \varepsilon) & \varepsilon P_3(w, t, \varepsilon) \end{pmatrix}$. Для определения ее блоков используется следующий итерационный процесс (условия его сходимости приведены в [4]):

$$\begin{aligned} P_1^{[i]} &= \bar{P}_1 + \tilde{P}_1^{[i-1]}(x^{[i-1]}), \\ \begin{pmatrix} P_2^{[i]} \\ P_3^{[i]} \end{pmatrix} &= \begin{pmatrix} \bar{P}_2 \\ \bar{P}_3 \end{pmatrix} + \begin{pmatrix} \tilde{P}_2^{[i-1]}(x^{[i-1]}) \\ \tilde{P}_3^{[i-1]}(x^{[i-1]}) \end{pmatrix} - L \cdot \tilde{P}_1^{[i-1]}(x^{[i-1]}), \\ (x^{[i]}, y^{[i]}) &= s(P_1^{[i]}, P_2^{[i]}, P_3^{[i]}), \\ \frac{d}{d\tau} \begin{pmatrix} \tilde{P}_2^{[i]} \\ \tilde{P}_3^{[i]} \end{pmatrix} &= -\frac{1}{\varepsilon} \begin{pmatrix} \tilde{N}_2(\tilde{P}_1^{[i-1]}(x^{[i-1]}), \tilde{P}_2^{[i]}(x^{[i]}), \tilde{P}_3^{[i]}(x^{[i]}), \varepsilon) \\ \tilde{N}_3(\tilde{P}_2^{[i]}(x^{[i]}), \tilde{P}_3^{[i]}(x^{[i]}), \varepsilon) \end{pmatrix}, \quad \begin{pmatrix} \tilde{P}_2^{[i]}(0) \\ \tilde{P}_3^{[i]}(0) \end{pmatrix} = \begin{pmatrix} 0 \\ 0 \end{pmatrix}, \\ \frac{d}{dt} \tilde{P}_1^{[i]} &= \tilde{N}_1(\tilde{P}_1^{[i]}(x^{[i]}), \tilde{P}_2^{[i]}(x^{[i]}), \tilde{P}_3^{[i]}(x^{[i]}), \varepsilon), \\ \tilde{P}_1^{[i]}(t_f) &= 0, \\ \tau = t_f - t, \quad \tilde{P}_1^{[-1]} &\equiv \tilde{P}_2^{[-1]} \equiv \tilde{P}_3^{[-1]} \equiv 0, \\ \tilde{P}_2^{[0]} &\equiv \tilde{P}_3^{[0]} \equiv 0, \quad i = 0, 1, 2, \dots \end{aligned} \quad (4)$$

Здесь все матричные величины, за исключением L , вытянуты в векторы; $\tilde{P}_1^{[i]}, \tilde{P}_2^{[i]}, \tilde{P}_3^{[i]}$ – невязки между соответствующими блоками точного решения (3) и блоками текущего решения $P_1^{[i]}, P_2^{[i]}, P_3^{[i]}$ на i -м шаге; $\bar{P}_1 = P_{1,0}$, $\bar{P}_2 = P_{2,0} + \Pi_{2,0}(\tau_1)$, $\bar{P}_3 = P_{3,0} + \Pi_{3,0}(\tau_1)$ – равномерные приближения решений нулевого

порядка; s – функция интегрирования системы в (1) вдоль управления (2), вычисленного для значений блоков $P_1^{[i]}, P_2^{[i]}, P_3^{[i]}$. Для $\tilde{N}_1, \tilde{N}_2, \tilde{N}_3$ имеем следующие выражения

$$\begin{aligned}\tilde{N}_1(\tilde{P}_1, \tilde{P}_2, t, \varepsilon) &= N_1(\tilde{P}_1 + P_{1,0}, \tilde{P}_2 + \bar{P}_2 - L_1 \tilde{P}_1, t, \varepsilon) - N_1(P_{1,0}, P_{2,0}, t, 0), \\ \tilde{N}_2(\tilde{P}_1, \tilde{P}_2, \tilde{P}_3, t, \varepsilon) &= \\ N_2(\tilde{P}_1 + P_{1,0}, \tilde{P}_2 + \bar{P}_2 - L_1 \tilde{P}_1, \tilde{P}_3 + \bar{P}_3 - L_2 \tilde{P}_1, t, \varepsilon) &- N_2(P_{1,0}, \bar{P}_2, \bar{P}_3, t, 0) + \dot{L}_1 \tilde{P}_1 + \varepsilon L_1 \tilde{N}_1(\tilde{P}_1, \tilde{P}_2, t, \varepsilon), \\ \tilde{N}_3(\tilde{P}_1, \tilde{P}_2, \tilde{P}_3, t, \varepsilon) &= N_3(\tilde{P}_2 + \bar{P}_2 - L_1 \tilde{P}_1, \tilde{P}_3 + \bar{P}_3 - L_2 \tilde{P}_1, t, \varepsilon) - N_3(\bar{P}_2, \bar{P}_3, t, 0) + \dot{L}_2 \tilde{P}_1 + \varepsilon L_2 \tilde{N}_1(\tilde{P}_1, \tilde{P}_2, t, \varepsilon), \\ N_1(P_1, P_2, t, \varepsilon) &= -P_1 A_1 - A_1^T P_1 - P_2 A_3 - A_3^T P_2^T + P_1 S_1 P_1 + P_1 S P_2^T + P_2 S^T P_1 + P_2 S_2 P_2^T - Q_1 - \Omega_1, \\ N_2(P_1, P_2, P_3, t, \varepsilon) &= -P_1 A_2 - P_2 A_4 - \varepsilon A_1^T P_2 - A_3^T P_3 + \varepsilon P_1 S_1 P_2 + P_1 S P_3 + \varepsilon P_2 S^T P_2 + P_2 S_2 P_3 - Q_2 - \Omega_2, \\ N_3(P_2, P_3, t, \varepsilon) &= -\varepsilon P_2^T A_2 - \varepsilon A_2^T P_2 - P_3 A_4 - A_4^T P_3 + \varepsilon^2 P_2^T S_1 P_2 + \varepsilon P_2^T S P_3 + \varepsilon P_3 S^T P_2 + P_3 S_2 P_3 - Q_3 - \Omega_3, \\ S_1 &= B_1 R^{-1} B_1^T, S_2 = B_2 R^{-1} B_2^T, S = B_1 R^{-1} B_2^T.\end{aligned}$$

Матрица L есть решение задачи $\varepsilon \dot{L} = F_y(P_{1,0}, P_{2,0}, P_{3,0}, t)L - F_x(P_{1,0}, P_{2,0}, P_{3,0}, t)$, $L(t_f) = 0$, в которой

$$\begin{aligned}F_y(P_{1,0}, P_{2,0} + \Pi_{02}, P_{3,0} + \Pi_{03}, t) &= \\ \left(\begin{array}{cc} -\left(A_{4,0} - S_{2,0}(P_{3,0} + \Pi_{03})\right)^T \otimes I_{n_x} & I_{n_y} \otimes \left(-A_{3,0}^T + P_{1,0} S_{12,0} + (P_{2,0} + \Pi_{02}) S_{2,0}\right) \\ 0 & -I_{n_y} \otimes \left(A_{4,0} - S_{2,0}(P_{3,0} + \Pi_{03})\right)^T - \left(A_{4,0} - S_{2,0}(P_{3,0} + \Pi_{03})\right)^T \otimes I_{n_y} \end{array} \right), \\ F_x(P_{1,0}, P_{2,0}, P_{3,0}, t) &= \left(\begin{array}{c} \left(\left(-A_{2,0} + S_{2,0}(P_{3,0} + \Pi_{03})\right)^T \otimes I_{n_x}\right) \\ 0_{n_y^2 \times n_x^2} \end{array} \right),\end{aligned}$$

где I и O – единичная и нулевая матрицы соответствующих размерностей, \otimes – произведение Кронекера. Решение вырожденной задачи находится из уравнений

$$\begin{aligned}\frac{d}{dt} P_{1,0} &= -P_{1,0} A_{1,0} - A_{1,0}^T P_{1,0} - P_{2,0} A_{3,0} - A_{3,0}^T P_{2,0}^T + P_{1,0} S_{1,0} P_{1,0} + P_{1,0} S_{12,0} P_{2,0}^T + P_{2,0} S_{12,0}^T P_{1,0} \\ &+ P_{2,0} S_{2,0} P_{2,0}^T - Q_{1,0} - \frac{1}{4} \hat{P}_{w,2,1} S_{2,0} \hat{P}_{w,2,1}^T, \quad P_{1,0}(w(t_f), t, \varepsilon) = F_1, \\ 0 &= -P_{1,0} A_{2,0} - P_{2,0} A_{4,0} - A_{3,0}^T P_{3,0} + P_{1,0} S_{12,0} P_{3,0} + P_{2,0} S_{2,0} P_{3,0} - Q_{2,0}, \\ 0 &= -P_{3,0} A_{4,0} - A_{4,0}^T P_{3,0} + P_{3,0} S_{2,0} P_{3,0} - Q_{3,0}.\end{aligned}$$

Правые пограничные слои $\Pi_{2,0}$ и $\Pi_{3,0}$ блоков P_2, P_3 находятся из следующих задач

$$\begin{aligned}\frac{d}{d\tau_1} \Pi_{2,0} &= -\Pi_{2,0}(\tau_1) A_{4,0} - A_{3,0}^T \Pi_{3,0}(\tau_1) + P_{1,0}(t_f) S_{12,0} \Pi_{3,0}(\tau_1) + P_{2,0}(t_f) S_{2,0} \Pi_{3,0}(\tau_1) + \Pi_{2,0}(\tau_1) S_{2,0} P_{3,0} \\ &+ \Pi_{2,0}(\tau_1) S_{2,0} \Pi_{3,0}(\tau_1), \quad \Pi_{2,0}(0) = F_2 - P_{2,0}(t_f), \\ \frac{d}{d\tau_1} \Pi_{3,0} &= -\Pi_{3,0}(\tau_1) A_{4,0} - A_{4,0}^T \Pi_{3,0}(\tau_1) + P_{3,0} S_{2,0} \Pi_{3,0}(\tau_1) + \Pi_{3,0}(\tau_1) S_{2,0} P_{3,0} + \Pi_{3,0}(\tau_1) S_{2,0} \Pi_{3,0}(\tau_1), \\ \Pi_{3,0}(0) &= F_3 - P_{3,0}(t_f), \quad \tau_1 = \frac{t - t_f}{\varepsilon}.\end{aligned}$$

При дополнительных условиях (см. [1,2]) для каждой фиксированной пары x, y существует достаточно малая константа ε_0 , такая что для всех $\varepsilon \in (0, \varepsilon_0]$ имеют место оценки

$$\|P_j^* - P_j^{[i]}\| \leq c \varepsilon^{i+1}, \quad i = 0, 1, \dots, j = 1, 2, 3,$$

где P_j^* – точное значение блока P_j в исходной задаче, $P_j^{[i]}$ – значение блока P_j , полученное на i -й итерации приведенного выше алгоритма, постоянная $c > 0$ не зависит от номера итерации i и ε .

2. Численная асимптотика

Так как задача (3) сингулярно возмущенная и на правом конце решение имеет пограничный слой, то равномерное асимптотическое приближение по методу пограничных функций [3] имеет два ряда: регулярный и пограничный. Здесь рассмотрим аппроксимацию регулярного разложения, которое аппроксимирует решение на отрезке $[0, \bar{t}]$, где $\bar{t} < t_f$.

Предположим, имеется сходящаяся последовательность $P_j^{[l]}(t, \varepsilon)$, $i = 0, 1, \dots, m$, $j = 1, 2, 3$, - результат применения итерационного процесса, полученный при $\varepsilon \in (0, \varepsilon_0]$, $t \in [0, \bar{t}]$. Представим ее формально в виде асимптотического ряда

$$\hat{P}_j(t, \varepsilon) = \hat{P}_{j,0}(t) + \varepsilon \hat{P}_{j,1}(t) + \dots + \varepsilon^m \hat{P}_{j,m}(t) + \dots, \quad (5)$$

где предполагаем, что k -й коэффициент этого ряда можно определить по формуле

$$\hat{P}_{j,k}(t) = \frac{P_j^{[k]}(t, \varepsilon) - \sum_{i=0}^{k-1} \varepsilon^i \hat{P}_{j,i}(t)}{\varepsilon^k}, \quad \hat{P}_{j,-1}(t) \equiv 0, \quad k = 0, 1, \dots, m, \quad j = 1, 2, 3, \quad (6)$$

В силу предположения о сходимости итерационного процесса, будем считать, что коэффициенты предложенного ряда (5), определяющиеся по (6), не зависят от величины ε . Определив их один раз, можно вычислять асимптотическое приближение к решению для меньшего или большего значения ε в зоне действия асимптотики, получая таким образом интерполяционный (в первом случае) или экстраполяционный (во втором) алгоритм.

3. Процедуры экстраполяции и интерполяции

Сначала воспользуемся схемой экстраполяции Ричардсона. Пусть известны $l + 1$ асимптотических приближений порядка m , каждая из которых вычислена для своего значения малого параметра из набора $\varepsilon, a_1\varepsilon, a_2\varepsilon, \dots, a_l\varepsilon$:

$$P_j(t, \varepsilon, \mathbf{a}) = \sum_{s=0}^m (a_i\varepsilon)^s P_{j,s}(t), \quad \mathbf{a} = \{a_0, a_1, \dots, a_l\}, \quad a_0 = 1, \quad a_i < 1, \quad a_i\varepsilon < \varepsilon_0, \quad i = 0, 1, \dots, l, \quad j = 1, 2, 3, \quad m \geq l,$$

Допустим, имеет место следующая оценка [6]

$$\|P_j^*(t, b\varepsilon) - P_{j,appr}(t, \varepsilon, \alpha, \mathbf{a})\| = O(\varepsilon^{l+1}), \quad j = 1, 2, 3,$$

где $P_j^*(t, b\varepsilon)$ - точное решение для блока P_j в исходной задаче при некотором значении параметра

$b, b > 1, \varepsilon b < \varepsilon_0$, $P_{j,appr}$ - экстраполяция для блока P_j , вычисленная как $P_{j,appr}(t, \varepsilon, \alpha, \mathbf{a}) = \sum_{i=0}^l \alpha_i P_j(t, a_i\varepsilon)$,

$\alpha \in \mathbb{R}^{l+1}$ - вектор коэффициентов, подлежащих определению, т.е. α есть функция \mathbf{a}, b . Можно показать, что задача построения экстраполяции в пределах $\varepsilon \in (0, \varepsilon_0]$ сводится к решению линейного

матричного уравнения $A_{extr}\alpha = b_{extr}$, где $A_{extr} = \begin{bmatrix} 1 & 1 & \dots & 1 \\ 1 & a_1 & \dots & a_l \\ \vdots & \vdots & \ddots & \vdots \\ 1 & a_1^l & \dots & a_l^l \end{bmatrix} \in \mathbb{R}^{(l+1) \times (l+1)}$, $b_{extr} = \begin{bmatrix} 1 \\ b \\ \vdots \\ b^l \end{bmatrix} \in \mathbb{R}^{l+1}, b > 1$. При

$a_i \neq a_j \neq 1, i \neq j, i, j \in \overline{1, l}$ имеем, что $\det(A_{extr}) \neq 0$. Действительно, это достигается лишь при

условии $a_i \neq a_j \neq 1, i \neq j, i, j \in \overline{1, l}$. так как $\det(A_{extr}) = \prod_{i=1}^l (a_i - 1) \prod_{i=1}^{l-1} \prod_{j=i+1}^l (a_i - a_j)$.

Предполагая, что $\det(A_{extr}) \neq 0$, имеем

$$\alpha(\mathbf{a}, b) = A_{extr}^{-1} b_{extr}. \quad (7)$$

В дальнейшем будем строить экстраполяции Ричардсона на основе численных асимптотик (5),(6)

$$\hat{P}_{j,appr}(t, \varepsilon, \mathbf{a}, b) = \sum_{i=0}^l \alpha_i(\mathbf{a}, b) \hat{P}_j(t, a_i, \varepsilon), \quad j=1,2,3, \quad (8)$$

где α , как и прежде, определяется с помощью (7). Отметим, что для $\varepsilon b < \varepsilon_0$ при $b < 1$ данная процедура носит интерполяционный, а при $b > 1$ экстраполяционный характер.

4. Численные эксперименты

С помощью двух примеров исследуем интерполяционные и экстраполяционные свойства конструкций (8). Первый пример из [7] связан с управлением электромагнитным двигателем

$$\begin{aligned} \frac{dx}{dt} &= 18654y, \quad x(0) = -3, \\ \varepsilon \frac{dy}{dt} &= -1.81x - 580.88y + 73.52u, \quad y(0) = 5, \\ J(u) &= \frac{0.01x^2(0.01)}{2} + \frac{1}{2} \int_0^{0.01} (x^2 + 4600y^2 + 30u^2) dt \rightarrow \min_u, \quad x, y \in \mathbb{R}. \end{aligned} \quad (9)$$

Здесь матрицы системы и критерия не зависят от состояния системы, поэтому приведенные выше соотношения для итерационного процесса заметно упрощаются. Для различных значений параметра ε было выполнено 5 итераций сходящегося процесса, описанного в разделе 2. С помощью результатов итераций построены первые пять членов асимптотики (5),(6).

Введем набор значений параметра ε в задаче (9) $\boldsymbol{\varepsilon} = [0.01 \quad 0.1 \quad 1 \quad 3 \quad 5]$. Построим аппроксимацию решения (9) для каждого возможного значения $b\varepsilon_q$, $q=1,2,\dots,5$ на основе численных асимптотик, построенных при других четырех оставшихся значений ε . На Рис. 1 и Рис. 2. представлены графики ошибок аппроксимации $P_j^*(t, b\varepsilon_q) - \hat{P}_{j,appr}(t, \boldsymbol{\varepsilon}_q, \mathbf{a}, b)$, $j=1,2$, где $P_j^*(t, b\varepsilon)$ и $\hat{P}_{j,appr}(t, \boldsymbol{\varepsilon}_q, \mathbf{a}, b)$ - соответственно точное и приближенное решение для блока P_j в исходной задаче. Каждое приближение строилось на основе результатов лишь одного сходящегося процесса, полученного при $\boldsymbol{\varepsilon}_q$. Далее

использовались выражения (6) и (8), где $l=1,2,3,4$, $m=l$, $a_i = \frac{1}{2} \left(1 + \frac{(i-1)}{l} \right)$, $i=1,2,\dots,l$. Множители b

могли быть как больше, так и меньше 1, и определялись как $b = \frac{\varepsilon_i}{\varepsilon_j}$, $i \neq j$, $i, j=1,2,\dots,5$. В первом

случае получается экстраполяционная, а во втором - интерполяционная процедура. Графики ошибок для блока P_3 аналогичны графикам для P_2 .

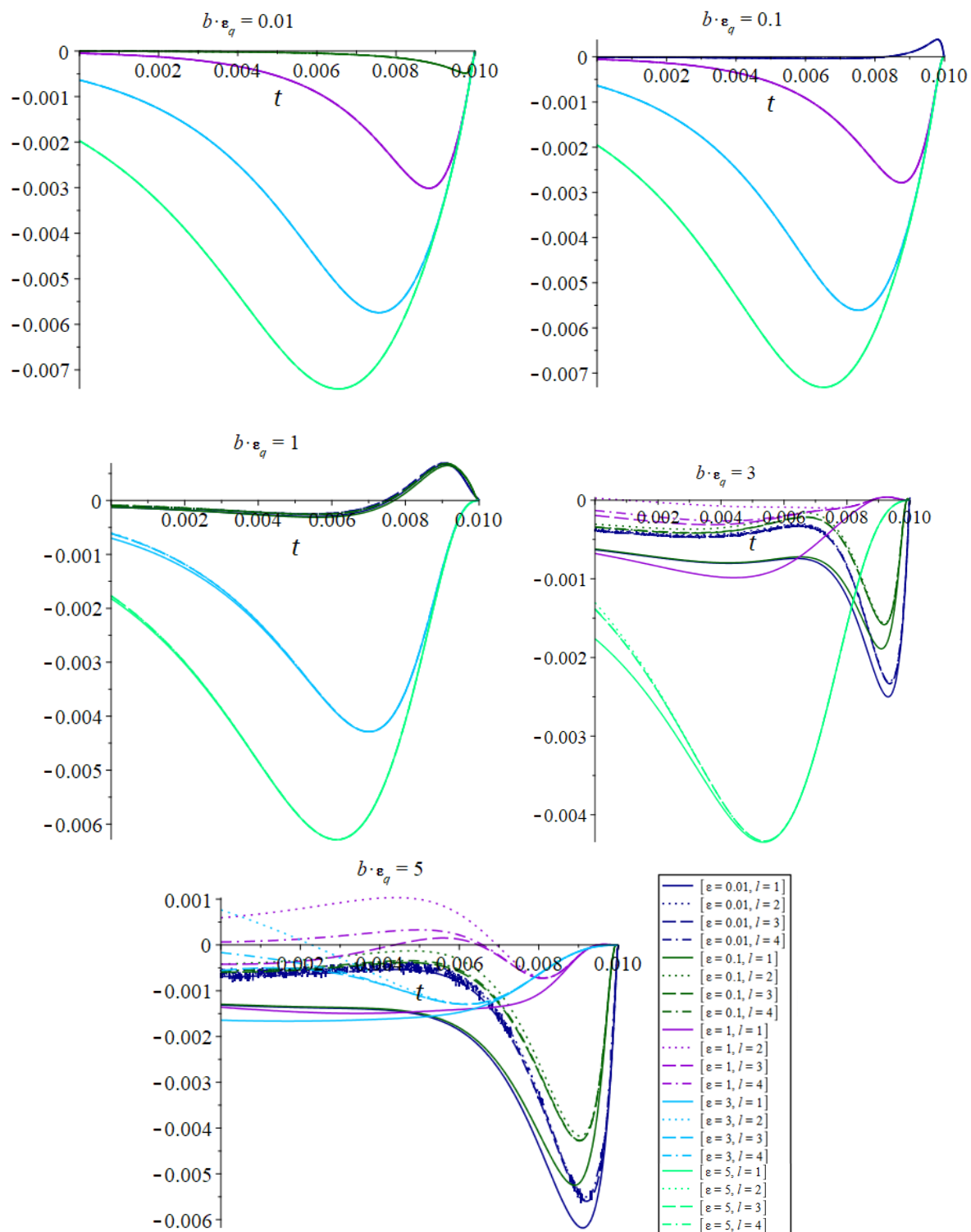


Рис. 1. Ошибки аппроксимаций для P_1 в задаче (9)

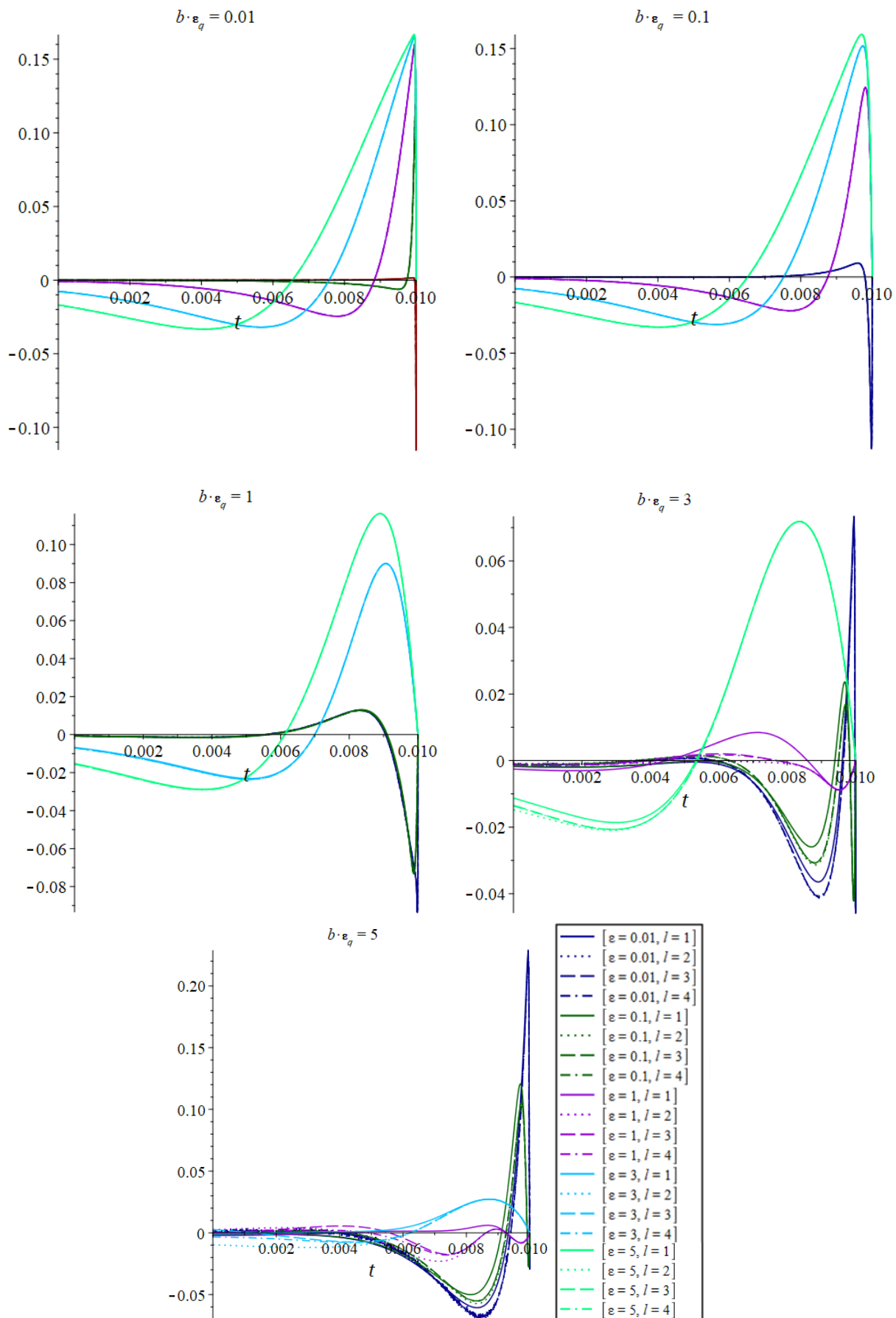


Рис. 2. Ошибки аппроксимаций для P_2 в задаче (9)

Графики ошибок показывают, что при всех рассмотренных значениях ϵ ошибки находятся в зоне действия асимптотических приближений. Как видно, во всех рассмотренных случаях ошибки

интерполяции и экстраполяции конструкции (8) достаточно малы. Они незначительно отличаются для разных значений l при $b\varepsilon_q \leq 1$.

На графиках Рис. 2 также видно, что во многих рассмотренных экспериментах наблюдается действие пограничного слоя. Но на основном интервале $[0, \bar{t}]$, $\bar{t} < t_f$, где и рассматривается численная асимптотика, ошибки экстраполяции достаточно малы.

Рассмотрим второй пример со слабой нелинейностью

$$\frac{dx}{dt} = y, \quad x(0) = -3,$$

$$\varepsilon \frac{dy}{dt} = (1 + \varepsilon \sin(x))x + (-1 + \varepsilon \cos(x))y + (2 + 3\varepsilon e^{-0.1x^2})u, \quad y(0) = 2, \quad (10)$$

$$J(u) = \frac{x^2(5) + y^2(5)}{2} + \frac{1}{2} \int_0^5 (x^2 + y^2 + u^2) dt \rightarrow \min_u, \quad x, y \in \mathbb{R}.$$

Для этой задачи выполнено 4 итерации сходящегося процесса. На Рис. 3 и Рис. 4 представлены графики точных решений $P_j^*(t, b\varepsilon_q)$, $j=1,2$, полученных с помощью метода из [8], а также приближения по схеме Ричардсона (8) $\hat{P}_{j,appr}(t, \varepsilon_q, a, b)$, где $q=1,2,3$, $\varepsilon = [0.01 \ 0.05 \ 0.1]$, $l=1,2,3$, $m=l$, $a_i = \frac{1}{2} \left(1 + \frac{(i-1)}{l} \right)$, $i=1,2,\dots,l$, $b = \frac{\varepsilon_i}{\varepsilon_j}$, $i \neq j$, $i, j=1,2,3$. Графики приближенных решений для блока P_3 аналогичны графикам для P_2 .

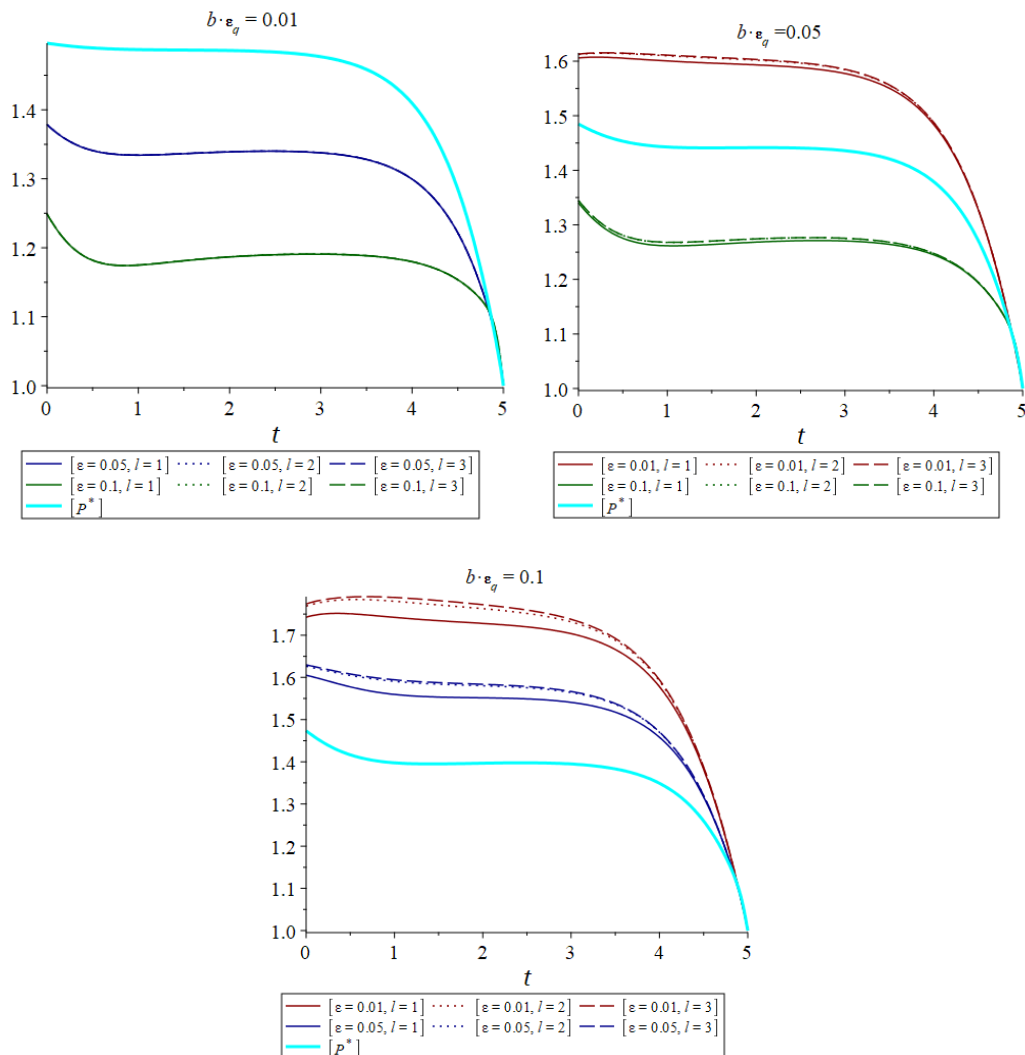


Рис. 3. Ошибки аппроксимаций для P_1 в задаче (10)

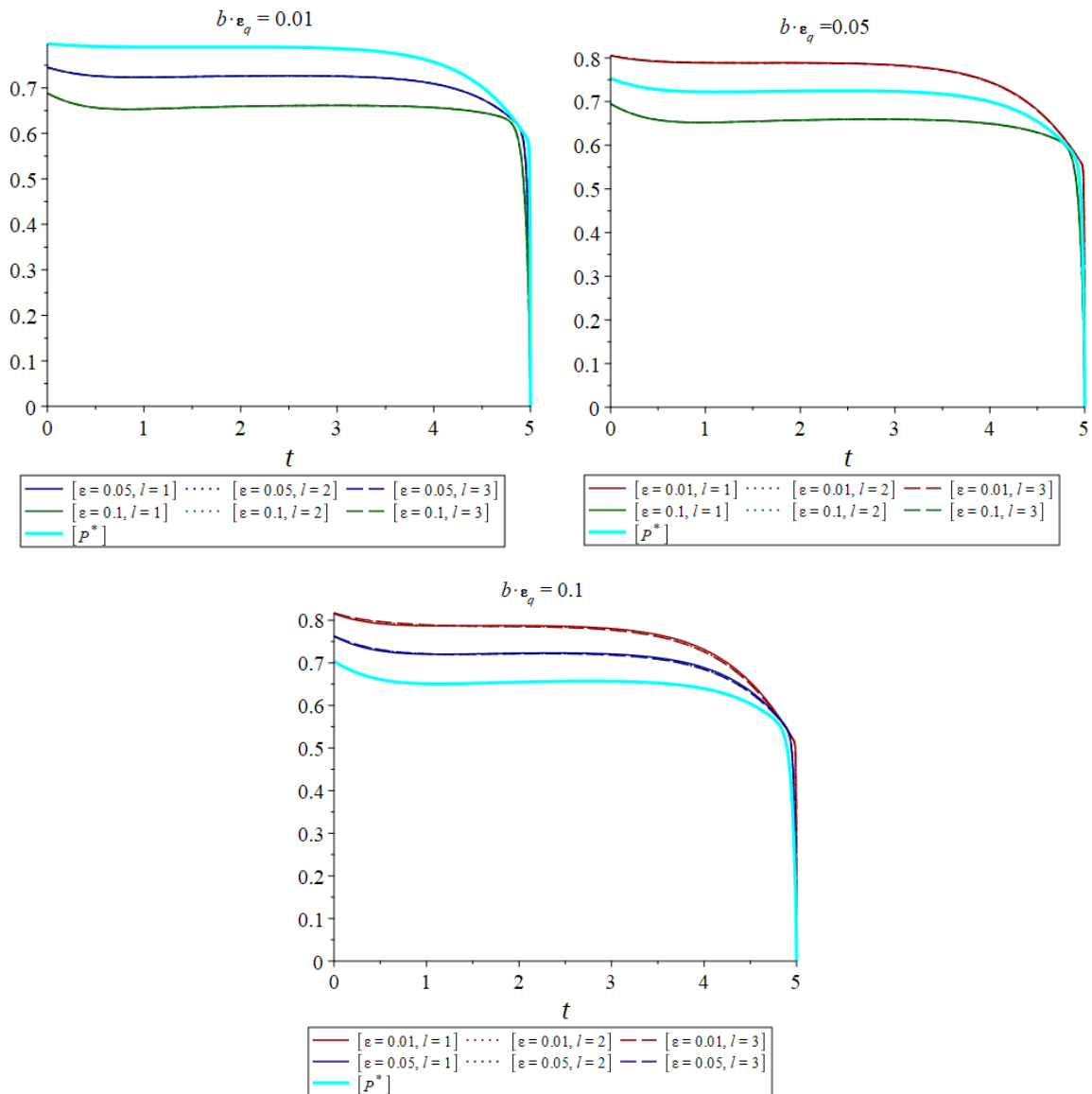


Рис. 4. Ошибки аппроксимаций P_2 в системы (10)

Как видно, во втором примере точность аппроксимации меньше, по сравнению с первым. Это объясняется зависимостью коэффициентов матриц в уравнении Риккати от координат вектора состояния, которые находятся приближенно.

5. Заключение

На основе анализа результатов сходящегося итерационного процесса и использования асимптотических приближений предложен подход для построения семейства приближенных параметрических решений начальных задач для соответствующих матричных дифференциальных уравнений типа Риккати, возникающих при построении регуляторов в сингулярно возмущенной слабо нелинейной задаче управления. Подход позволяет получать аппроксимации законов обратной связи в рассматриваемой задаче для параметров близких по значениям к параметру, использованному в сходящемся итерационном процессе.

Дмитриев М.Г. выражает благодарность VIASM (г. Ханой, Вьетнам) за создание благотворной исследовательской среды во время визита в 2023 г.

Литература

1. Dmitriev M.G., Klishevich A.M. Iterative solution of optimal control problems with fast and slow motions // Systems & Control Letters. – 1984. – Vol. 4(4). – P. 223-226.

2. *Клишевич А.М.* Равномерные приближения в сингулярно возмущенных задачах и их применение в теории оптимального управления. Диссертация на соиск. учен. ст. к.ф.-м.н. по спец. 01.01.02. ВЦ СО АН СССР в г. Красноярске. – 1985. – 148 с.
3. *Васильева А.Б., Бутузов В.Ф.* Асимптотические разложения решений сингулярно возмущенных уравнений – М.: Наука, 1973. – 273 с.
4. *Dmitriev M., Makarov D.* An Iterative Method for Regulator Construction in a Weakly Nonlinear Singularly Perturbed Control Problem // 2022 16th International Conference on Stability and Oscillations of Nonlinear Control Systems (Pyatnitskiy's Conference). – IEEE, 2022. – P. 1-4.
5. *Heydari A., Balakrishnan S.N.* Closed-Form Solution to Finite-Horizon Suboptimal Control of Nonlinear Systems // International Journal of Robust and Nonlinear Control. – 2015. – Vol. 25, N 15. – P. 2687-2704.
6. *Марчук Г.И., Шайдунов В.В.* Повышение точности решений разностных схем. – М.: Наука, 1979 г. – 319 с.
7. *Kokotovic P., Yackel R.* Singular perturbation of linear regulators: basic theorems // IEEE transactions on automatic control. – 1972. – Vol. 17. – P. 29-37.
8. *Çimen T., Banks S. P.* Global optimal feedback control for general nonlinear systems with nonquadratic performance criteria // Systems & control letters. – 2004. – Vol. 53. N 5. – P. 327-346.